

Министерство высшего и среднего специального образования РСФСР
Горьковский ордена Трудового Красного Знамени
научно-исследовательский радиофизический институт (НИРИ)

П р е п р и н т № 234

ЭКСПЕРИМЕНТАЛЬНЫЕ ИССЛЕДОВАНИЯ РАДИОИЗЛУЧЕНИЯ
КРАБОВИДНОЙ ТУМАННОСТИ

Барабанов А.П.
Иванов В.П.
Станкевич К.С.
Столяров С.П.

Горький 1987

Барабанов А.П., Иванов В.П.,
Станкевич К.С., Столяров С.П.

ЭКСПЕРИМЕНТАЛЬНЫЕ ИССЛЕДОВАНИЯ РАДИОИЗЛУЧЕНИЯ
КРАБОВИДНОЙ ТУМАННОСТИ. Горький, Препринт
№ 234 / НИРФИ, 1986, 25 с.

УДК-523.164.4

Обнаружено изменение спектрального индекса Крабовидной туманности на эпоху 1984.0 в диапазоне 0,5-10 ГГц на 0,044, что составило 14% от начальной величины. Показано, что спектр источника не менялся существенно с 1953 по 1974 гг. По-видимому, изменения в спектре Краба начались после 1975 г. и носят нерегулярный характер.

В 1977 г. было обнаружено уменьшение плотности потока Крабовидной туманности на частоте 927 МГц /30/. Исследования на ряде длин волн сантиметрового и дециметрового диапазонов показали, что на эпоху 1981 г. уменьшение мощности радиоизлучения Крабовидной туманности в среднем по спектру составило 3,5% /31,32/. При равномерном уменьшении потока средняя скорость составила бы $(0,2 \pm 0,06)\%$ в год, но, вероятно, имели место нерегулярные изменения после 1975 года. Абсолютные измерения в 1983–1984 гг., о которых сообщается ниже, показали, что эффект носит более сложный характер: наряду с изменением интенсивности обнаружено уменьшение спектрального индекса источника. Исследование радиоизлучения Крабовидной туманности в различные эпохи посвящена настоящая работа.

Для выявления эволюции потоков и спектра радиоизлучения источника нужны мгновенные спектры на различные эпохи, в том числе и за предыдущие годы. В прошлом для Краба такие измерения систематически не проводились, тем не менее по совокупности данных абсолютных и относительных измерений имеется возможность восстановить поведение его спектра до 1953 года включительно. Рассмотрим вначале распределение энергии по спектру Крабовидной туманности в период 1953 – 1974 гг.

I. Спектр Крабовидной туманности в 1953 – 1974 гг.

Уже при первой систематизации спектров дискретных источников /1/ спектр Крабовидной туманности представлен в виде

Таблица I

| н/п: | α | 6 | Погрешность на: | | Диапазон частот | Ссылка |
|------|-------------------|---------------------|------------------------|---------|-----------------|-----------------|
| | | | Погрешность | МГц | | |
| 1. | $0,28 \pm 0,05$ | 3,79 | $S(100) = 1700$ | 30 МГц | \Rightarrow | 1000 МГц /1/ |
| 2. | $0,27 \pm 0,02$ | 3,7925 | $S(400) = 1230$ | 38 МГц | \Rightarrow | 3200 МГц /2/ |
| 3. | $0,3 \pm 0,1$ | | | 38 МГц | \Rightarrow | 750 МГц /3/ |
| 4. | $0,26 \pm 0,2$ | | | 750 МГц | \Rightarrow | 5000 МГц /3/ |
| 5. | $0,26$ | 3,783 | | 38 МГц | \Rightarrow | 5000 МГц /3/ |
| 6. | $0,247 \pm 0,015$ | $3,7295 \pm 0,0452$ | | 400 МГц | \Rightarrow | 35 ГГц /4/ |
| 7. | $0,263 \pm 0,01$ | 3,783 | $S(1000) = 986 \pm 12$ | 100 МГц | \Rightarrow | 20 ГГц /5/ |
| 8. | $0,299 \pm 0,009$ | $3,915 \pm 0,031$ | | 1 ГГц | \Rightarrow | 35 ГГц /6/ |
| 9. | $0,28 \pm 0,05$ | 3,864 | | 10 МГц | \Rightarrow | 10 ГГц /7/ |

$$\lg S(\nu) = B - \alpha \lg \nu, \quad (I)$$

где $S(\nu)$ - поток в единицах потока, α - спектральный индекс, B - поток на частоте 1 МГц, ν - частота в мегагерцах.

Значения α и B в более поздних исследованиях несколько отличались от /1/, однако представление спектра Краба в виде (I) сохранилось и в последующих работах.

В табл. I приведены значения α и B из основных работ, содержащих радиоастрономические шкалы потоков, а также из известного обзора /7/.

Из таблицы видно, что величины спектрального индекса разбросаны в довольно широком интервале значений: $0,247 \leq \alpha \leq 0,3$, хотя в каждой из шкал использовались, большей частью, одни и те же экспериментальные данные. Естественно, что подобная ситуация практически исключает возможность исследования эволюции спектра Крабовидной туманности в прошлом. Поэтому, чтобы установить точное распределение энергии радиоизлучения по спектру Краба, нужен новый обоснованный анализ всех имеющихся данных и, прежде всего, радиоастрономических шкал потоков.

В /2-6/ содержатся широко известные абсолютные шкалы потоков. Они построены по одному и тому же принципу. Мощный дискретный источник - обычно Кассиопея А - принимался за первичный эталон интенсивности радиоизлучения в широком диапазоне частот. Спектр первичного эталона строился на основе прямых абсолютных измерений, проводившихся, что необходимо подчеркнуть, разными методами: эталонных диполей, "искусственной Луны" и эталонных рупорных антенн. Каждый из методов характерен для своего частотного интервала, и они мало перекрывают друг друга по частоте.

Система вторичных эталонов или стандартов состоит из нескольких умеренно-сильных источников, имеющих простой неменяющийся во времени спектр. Их спектры определяются в широком диапазоне частот относительно первичного стандарта.

Существование множества шкал является следствием их неудовлетворительной точности. Каждая из последующих шкал должна была устранять недостатки своих предшественников, хотя не имелось существенных отличий ни в исходном экспериментальном материале, ни в методике построения самой шкалы. Сравнение их между собой показывает рас-

хождения, часто превышающие 10%, что заметно больше пределов точности шкал по оценкам их авторов (в том числе для шкал ВИ /5/ и /29/, созданных одновременно). Поскольку главной причиной расхождений является различное представление спектра первичного эталона, то необходимы объективные критерии для оценки корректности построения его спектра. Задача была решена с помощью метода относительных спектров

При этом. Имея набор относительных измерений, выполненных для любой пары источников в возможно более широком диапазоне частот, можно построить зависимость логарифма отношения логарифма потока частоты, которая названа относительным спектром

$$\lg \frac{S_{U_1}(\nu)}{S_{U_2}(\nu)} = \lg S_{U_1} - \lg S_{U_2}, \quad (2)$$

где $S_{U_1}(\nu)$ и $S_{U_2}(\nu)$ – потоки первого и второго источников на частоте ν . Относительные измерения для сильных и умеренно-сильных источников выполняются с ошибкой порядка 1%, значительно меньшей, чем в абсолютных измерениях. Поэтому для источников с постоянными во времени потоками относительные спектры могут быть найдены с очень высокой точностью.

В /10/ показано, что, имея относительные спектры для группы источников, можно однозначно определить форму спектра для каждого из них в отдельности, т.е. получить распределение спектральных индексов и точки изломов. Для мощных источников возможны прямые абсолютные измерения, выполненные в достаточном частотном интервале каким-либо одним методом. Тогда, если по данным абсолютных измерений участок спектра может быть получен с высокой точностью, а поведение спектра за пределами этого частотного интервала известно по относительным спектрам, то абсолютный спектр этого источника определяется во всем частотном диапазоне, где найдены относительные спектры. Поскольку абсолютная привязка сделана с помощью абсолютных измерений, выполненных каким-либо одним методом, полученный абсолютный спектр позволяет непосредственно сравнивать между собой результаты абсолютных измерений, проведенных разными методами в разных частотных диапазонах.

Для построения абсолютной шкалы в /8-10/ выбрана группа сравнения, состоящая из источников Лебедь А (ЗС 405), Дева А (ЗС 274), Геркулес А (ЗС 348), Гидра А (ЗС 218), ЗС 353 и ЗС 123, имеющих стабильные потоки. Поскольку в процессе наших многолетних абсолютных измерений на Кара-Даге выявлена сложная и значительная переменность Кассиопеи А, то за первичный эталон был принят абсолютный спектр Лебедя А. Абсолютные измерения потоков в диапазоне 0,5 - 4 ГГц для этого источника, окруженного сильным и неоднородным фоном, недостаточно точны из-за малого углового разрешения антенн, применяемых для абсолютных измерений. Поэтому спектр Лебедя А в этом диапазоне был определен путем сравнения интенсивностей Лебедя А и Кассиопеи А на антенных с достаточным угловым разрешением, а спектры Кассиопеи А на те же эпохи получены из абсолютных измерений методом "искусственной Луны" на Кара-Даге. Таким образом, новая абсолютная шкала построена на основе метода абсолютных измерений "искусственная Луна" и метода относительных спектров. Она содержит первичный эталон Лебедь А и 15 вторичных эталонов: это уже перечисленные источники сравнения, а также ЗС 119, 138, 147, 161, 196, 295, 409, 433, DR-21 и NGC 7027. Шкала определена в диапазоне частот 10 МГц \leq ν \leq 31 ГГц. Интересно сравнение абсолютных спектров, полученных в новой шкале, с данными прямых абсолютных измерений, выполненных различными методами. Наблюдается хорошее соответствие данных, полученных методом эталонных диполей и методом "искусственной Луны". Абсолютные измерения, выполненные с помощью эталонных рупорных антенн дают результаты, не соглашающие ни с методом "искусственной Луны", ни с методом эталонных диполей. Кроме того, полученные на их основе спектры не согласуются и с относительными спектрами /10/. Отличие потоков, измеренных методом эталонных рупорных антенн, от значений, соответствующих методу "искусственной Луны", зависит от частоты. На частотах выше 8 ГГц потоки, измеренные с помощью рупорных антенн, на 16-18% больше, чем в шкале /8-10/, ниже 600 МГц они становятся меньше, и разность растет с уменьшением частоты.

Как уже отмечалось, спектры первичного эталона шкалы /2-6/ строились с использованием результатов абсолютных измерений, выполнявшихся разными методами: в сантиметровом и миллиметровом диапазонах преобладали данные, полученные с помощью рупорных антенн. Вследствие этого спектральные индексы спектров, построенных на основе со-

вокупности различных абсолютных измерений, существенно занижены. Это замечание в полной мере относится и к спектру Крабовидной туманности, построенному в работе /7/. Шкалы /2-6/ в сантиметровом диапазоне оказались завышенными на 10% и более, как и спектры их первично-го эталона.

Таким образом, применение метода относительных спектров позволило выяснить, что для построения точной абсолютной шкалы результаты абсолютных измерений с помощью эталонных рупорных антенн не могут быть использованы. Вторая причина неточности шкал /2-6/ заключается в том, что в них не учитывался сложный характер переменности Кассиопеи А, выявленный в последние годы в результате длительных наблюдений.

В связи со сказанным выше понятен разброс параметров спектра Крабовидной туманности, приведенных в табл. I, и, кроме того, следует, что значения α занижены. Возможно несколько уменьшить разброс, если в шкалах /2-6/ вместо спектра первичного стандарта Кассиопеи А, синтезированного по данным, полученным различными методами и в течение многих лет, воспользоваться "мгновенными" спектрами Кассиопеи А на соответствующую эпоху /37 - 39/. Можно показать, что новые параметры спектра Краба для любой шкалы будут равны:

$$\alpha = \alpha^* + (\Delta\alpha)_{\text{кас.}}, \quad (3)$$

$$B = B^* + (\Delta B)_{\text{кас.}},$$

где α^* , B^* - параметры спектра Краба из шкалы, $(\Delta\alpha)_{\text{кас.}}$, $(\Delta B)_{\text{кас.}}$ - разности параметров "мгновенного" спектра Кассиопеи А в шкале "искусственная Луна" и параметров спектра, принятых в шкалах /2-6/. Соответствующие результаты приведены в табл.2, из которой видно, что величины спектральных индексов в ревизованных таким образом шкалах увеличились, а их разброс стал значительно меньше: $0,302 \leq \alpha \leq 0,333$.

Таблица 2

| Эпоха | d | $\lg(S_1)$ | Шкала |
|--------|--------|------------|----------|
| 1961.0 | 0,330 | 3,989 | /2/ СКЛ |
| 1964.0 | -0,322 | 3,966 | /3/ КРВ |
| 1964.4 | 0,331 | 3,975 | /4/ ВМВ |
| 1965.0 | 0,302 | 3,884 | /5/ ВН |
| 1965.0 | 0,333 | 4,00 | /6/ ВГРВ |

Большей определенности относительно параметров спектра Краба в прошлом можно достичь, используя оригинальные данные радиоастрономических измерений, опубликованные в литературе, приведя потоки к единой шкале. С этой целью были отобраны практически все работы, выполненные с 1953 по 1974 годы с высокой относительной точностью на антенах с достаточно высоким разрешением, в которых потоки Крабовидной туманности $S_{\text{КР}}^*(\nu)$ и Лебедя А $S_{\text{Леб}}^*(\nu)$ измерены одновременно в одной и той же шкале, относительно или абсолютно. Пользуясь стандартным спектром Лебедя А $S_{\text{Леб}}(\nu)$ из /8/ и /10/, потоки Крабовидной туманности приводились к нашей шкале согласно соотношению

$$S_{\text{КР}}(\nu) = S_{\text{КР}}^*(\nu) n \quad \text{или} \quad S_{\text{КР}}(\nu) = \frac{S_{\text{КР}}^*(\nu)}{S_{\text{Леб}}^*(\nu)} S_{\text{Леб}} \quad (4)$$

где $n = \frac{S_{\text{Леб}}(\nu)}{S_{\text{Леб}}^*(\nu)}$ — множитель шкалы, который использовал-

ся для работ, где приведена абсолютная величина потока Лебедя А. Соответствующие потоки $S_{\text{КР}}(\nu)$ приведены в табл. 3.

Новый спектр Крабовидной туманности хорошо описывается соотношением (1). Значительные отклонения от среднего распределения имеют две точки: на 81,5 МГц /II/ поток ниже на 15% и на 8 ГГц /26/ поток выше на 8%.

На частоте 81,5 МГц были измерены потоки 30 источников, в том числе двух вторичных стандартов /8 - 10/ ЗС 348 и ЗС 353. Если отношения потоков Лебедя А и ЗС 348, а также Лебедя А и ЗС 353, сог-

Таблица 3

| Эпоха | Частота: Гц МПц | $S_{kp}(\downarrow) : S_{abs}(\downarrow)$ | n | $S_{kp}(\downarrow) : S_{abs}(\downarrow)$ | Характеристика антенны | Лите- рату- ра |
|---------|-----------------------|--|--------|--|---|----------------------|
| I961-63 | 38 0, II0455 | 25909,0 | I, I78 | 2861,8 | Аперт. синт; $\Delta\theta_{0,5} = 45'$ | / 3/ |
| I969.5 | 81,5 0, II865 | 16217,4 | I | 1924,2 | Интерфер. 60λ | /II/ |
| I959.1 | I76 0, I7632 | 9428,9 | | 1662,5 | Параболический цилиндр | |
| | | | | 262 λ x 12 λ | | / 3/ |
| I953.3 | 250 0, 2I053 | 74I3,8 | I, 95I | I560,8 | Решетка $\Delta\theta_{0,5} =$ $= 1,2' \times 17'$ | /I2/ |
| I955.9 | 400 0, 254I6 | 5308,5 | I, 26I | I349,2 | 25 м антenna $\Delta\theta_{0,5} =$ $= 2'$ | /I3/ |
| I959.5 | 440 0, 25785 | 4962,6 | I | I279,6 | 26 м антenna | /I4/ |
| I963.4 | 6I2 0, 32394 | 358I,6 | I, 0I | II60,2 | 76 м антenna | /I5/ |
| I972.3 | 960 0, 448 | 2242,6 | - | I004,7 | $\Delta\theta_{0,5} = 36,5' \times 49,4'$ | /I7/ |
| I964.3 | 960 0, 44I | 2242,6 | - | 989,1 | $\Delta\theta_{0,5} = 35,5' \times 62,4'$ | /I7/ |
| I959.5 | I200 0, 5I368 | I778,2 | - | 9I3,4 | 26 м антenna | /I4/ |
| I956.7 | I390 0, 59054 | I526,I | 0,8 | 90I,2 | 25 м антenna | /I8/ |
| I959.5 | I400 0, 5852I | I5I4,8 | - | 886,5 | 26 м антenna | /I4/ |
| I962-63 | I400 0, 5849I | I5I4,8 | | 886 | 9I,5 м антenna | / 3/ |
| I957 | I4I9 0, 592I7 | I493,7 | 0,9I | 884,5 | 25 м антenna | /I9/ |
| I971.6 | I420 0, 58224 | I492,6 | - | 869,I | 25 м антenna | / 5/ |
| I974.4 | I646 | | I | 834,4 | 25 м антenna | /3I/ |
| I971.5 | 2667 0, 97677 | 720,6 | - | 703,9 | 25 м антenna | / 5/ |
| I959.I | 2930 I, 06349 | 64I,9 | I, 02 | 682,7 | 25,5 м антenna | /2I/ |
| I961.I | 3000 I, 06029 | 623,5 | - | 66I,I | 26 м антenna | /22/ |
| I964.4 | 3I50 I, 08527 | 587,I | 0,9I | 637,I | $\Delta\theta_{0,5} = 120'$ | /23/ |
| I965.3 | 4080 I, 4937 | 426,8 | 0,9 | 637,4 | $\Delta\theta_{0,5} = 45'$ | /24/ |
| I964.4 | 4995 I, 83486 | 332,5 | - | 6I0,I | 26 м антenna $\Delta\theta_{0,5} = 10,7'$ | / 4/ |
| I966-67 | 5000 I, 83288 | 332,I | | 608,7 | 42,7 м антenna | / 3/ |
| I965.0 | 6660 2, I7736 | 233,2 | 0,88 | 507,8 | $\Delta\theta_{0,5} = 60'$ | /23/ |
| I966.2 | 8000 2, 55I02 | I86 | - | 474,6 | 8,5 м антenna | /25/ |
| I964.0 | 8000 2, 865 | I86 | 0,93 | 533 | 26 м антenna | /26/ |
| I964.4 | I4500 4, 4843 | 89,4 | - | 400,75 | 26 м антenna | / 4/ |
| I966.3 | I5300 4, 83092 | 83,64 | - | 404,07 | 42,7 м антenna | /27/ |
| I973.3 | 22285 6, 59469 | 52,59 | 0,874 | 346,8 | 6,I м антenna | /28/ |

частно /II/, сравнив с относительными спектрами этих источников, найденными в /8 - 10/ на основании многих работ, то оказывается, что отличие в обоих случаях составляет 15%. Если потоки /II/ приводятся в шкале /8 - 10/ через стандартные спектры ЗС 348 или ЗС 353, а не Лебедя А, то поток Крабовидной туманности на $\nu = 81,5$ МГц попадает на единый спектр этого источника по данным табл. 2. Таким образом, данные /II/ носят противоречивый характер и не были включены в окончательный анализ.

Работы /26/ и /25/ выполнены на одной частоте - 8 ГГц, во времени их разделяет два года, однако потоки Крабовидной туманности отличаются на 12%. Поток, измеренный в /25/, находится в хорошем соответствии со средним спектром, в то время как по данным /26/ он значительно выше. Результат /26/ мог бы свидетельствовать о наличии у Крабовидной туманности быстрой локальной переменности, имевшей место в период наблюдений. Поток /26/ в дальнейшем не принимался во внимание, поскольку он не характерен для среднего спектра Крабовидной туманности в этот период. По всем остальным точкам табл. 3 методом наименьших квадратов был вычислен спектр Крабовидной туманности в виде (I) с параметрами

$$\alpha = 0,3298 \pm 0,0036; \quad B = 3,9804 \pm 0,0119 \quad (5)$$

Все точки брались с одинаковым весом, поскольку погрешность отношения $S_{\text{КР}}(\nu)/S_{\text{Леб}}^*(\nu)$ мала, но не всегда строго определяется по оригинальным работам. Предполагается, что полная погрешность $S_{\text{КР}}(\nu)$, состоящая из погрешностей отношения $S_{\text{КР}}^*(\nu)/S_{\text{Леб}}^*(\nu)$ и иных, не превышает для всех точек $\pm 5\%$.

Кроме ранее оговоренных точек по работам /II/ и /26/, все точки табл. 3 хорошо согласуются с найденной зависимостью. Это можно считать веским аргументом в пользу утверждения, что с 1953 по 1974 годы у Крабовидной туманности не было переменности,превышающей ошибки измерений.

Достаточное количество данных имеется, чтобы восстановить "многовенный" спектр Краба на эпохи 1964.2-1965.9. В этот период были сделаны (Станкевич К.С.) детальные сравнения интенсивностей радиосигнализации Краба и Кассиопеи А в диапазоне 513-1840 МГц; потоки

приведены в табл. 4. На эту же эпоху приходится ряд измерений на высоких частотах других авторов, которые уже приводились в табл. 3.

Таблица 4

| Эпоха : | Частота : (Гц) | $S(\nu)_{\text{кр/ди}}$ | Характеристика антенны | Литература |
|---------|-------------------|-------------------------|--|------------|
| I964.2 | 513 | II72 | $\Delta \theta_{0,5} = 70' \times 79'$ | H.P. |
| I964.5 | 535 | II93 | $\Delta \theta_{0,5} = 67' \times 76'$ | H.P. |
| I964.2 | 556 | II59 | $\Delta \theta_{0,5} = 65' \times 73'$ | H.P. |
| I964.2 | 740 | I032,9 | $\Delta \theta_{0,5} = 49' \times 55'$ | H.P. |
| I964.2 | 853 | 998,5 | $\Delta \theta_{0,5} = 42' \times 48'$ | H.P. |
| I964.2 | 960 | 989, I | $\Delta \theta_{0,5} = 37,5' \times 42,4'$ | /17/ |
| I965.2 | II00 | 9I2,4 | $\Delta \theta_{0,5} = 33' \times 37'$ | H.P. |
| I965.2 | I590 | 855,7 | $\Delta \theta_{0,5} = 23' \times 26'$ | H.P. |
| I965.2 | I840 | 8I3,5 | $\Delta \theta_{0,5} = 19,5' \times 22'$ | H.P. |
| I964.4 | 3I50 | 637, I | $\Delta \theta_{0,5} = 120' \times 120'$ | /23/ |
| I965.3 | 4080 | 637,4 | $\Delta \theta_{0,5} = 45' \times 45'$ | /24/ |
| I964.4 | 4995 | 6I0, I | $\Delta \theta_{0,5} = 10,75'$ | /4/ |
| I965.0 | 6660 | 507,8 | $\Delta \theta_{0,5} = 60' \times 60'$ | /23/ |
| I965.9 | 8250 | 487,6 | $\Delta \theta_{0,5} = 46,5' \times 58,7'$ | /40/ |
| I964.4 | I4500 | 400,75 | $\Delta \theta_{0,5} = 3,34'$ | /4/ |

Вычисленные параметры спектра

$$\alpha = 0,3I93 \pm 0,0073, \quad B = 3,9406 \pm 0,0241 \quad (6)$$

в пределах ошибок согласуются с (5).

Прямые абсолютные измерения спектра Крабовидной туманности в диапазоне $0,5 \text{ ГГц} \leq \nu \leq 10 \text{ ГГц}$ были проведены авторами осенью 1971 года, а также весной и осенью 1973 г. методом "искусственной Луны" на Карап-Даге. Результаты измерений приведены в табл. 5. Погрешность измерений во всех точках составляет около 2,5%. Спектр найден в виде (1) методом наименьших квадратов и имеет параметры:

$$\alpha = 0,3316 \pm 0,007, \quad B = 3,9834 \pm 0,0223 \quad (7)$$

Очевидно, что параметры спектров, рассчитанные по данным табл. 3-5, прекрасно согласуются между собой. Но если измерения в первом случае проводились в течение длительного времени, около 20-и лет, то спектры (6-7) измерены за 2 года и являются практически мгновенными. Совпадение этих спектров также свидетельствует о стабильном характере радиомалмачения Крабовидной туманности с 1953 по 1974 год.

Таблица 5

| Эпоха | λ (МГц) | $S_{kp}(\lambda)$ (Ян) | $\pm \Delta S \%$ |
|--------|-----------------|------------------------|-------------------|
| 1973.3 | 510 | 1218 | 2,5 |
| - " - | 550 | 1184 | -" |
| - " - | 600 | 1223 | -" |
| - " - | 648 | 1170 | -" |
| - " - | 699 | 1095 | -" |
| - " - | 750 | 1013 | -" |
| - " - | 794 | 1038 | -" |
| - " - | 900 | 995 | -" |
| - " - | 988 | 995 | -" |
| 1973.7 | 1000 | 931 | -" |
| 1971.8 | 1200 | 919 | -" |
| - " - | 1498 | 851 | -" |
| - " - | 2000 | 756 | -" |
| - " - | 2250 | 742 | -" |
| 1973.7 | 2800 | 679 | -" |
| 1971.8 | 3301 | 661 | -" |
| 1973.7 | 3597 | 641 | -" |
| 1971.8 | 3714 | 613 | -" |
| 1973.7 | 3872 | 625 | -" |
| - " - | 9935 | 470 | -" |

Аналогичный вывод сделан в /31/ при непосредственном сравнении относительных и абсолютных экспериментальных данных на длинах волн 31,5 и 3,07 см за двадцатилетний период после 1961 года: изменения в спектре Краба произошли после 1975 г.

2. Радиоизлучение Краба после 1976 г.

Для исследований эволюции радиоизлучения Крабовидной туманности осенью 1980 г. и осенью 1981 г. на Карап-Даге были проведены абсолютные измерения на шести длинах волн в диапазоне от 3,07 до 50 см. Абсолютные величины потоков получены методом "искусственной Луны" /33/ и, следовательно, измеренные потоки находятся на одной шкале с данными табл. 3-5 и могут непосредственно сравниваться. Соответствующие результаты приведены в табл. 6.

Таблица 6

| Эпоха | ν (МГц) | $S_{kp} (\downarrow)$ (Ян) | Случайная ошибка измерений $\pm \Delta S (\downarrow) \%$ |
|--------|-------------|----------------------------|---|
| 1981.7 | 613 | 1107 | 1,6 |
| 1981.7 | 855 | 998 | 1,5 |
| 1981.4 | 935 | 971 | 1,0 |
| 1980.8 | 2730 | 687 | 0,7 |
| 1980.8 | 3630 | 641 | 0,7 |
| 1980.7 | 9770 | 442 | 1,7 |

Таблица 7

| Эпоха | ν (МГц) | $S_{kp} (\downarrow)$ (Ян) | Случайная ошибка измерений $\pm \Delta S (\downarrow) \%$ |
|------------------------|-------------|----------------------------|---|
| 1984.6 | 532 | 1073 | 0,3 |
| 1983.9 и 1984.3 | 957 | 920 | 0,5 |
| 1983.9 | 1500 | 793 | 1,9 |
| 1984.8 | 2000 | 748 | 1,5 |
| 1984.3 и 1984.8 | 2250 | 702 | 1,2 |
| 1983.9, 1984.3, 1984.9 | 2800 | 673 | 0,9 |
| 1983.9 и 1984.9 | 3850 | 605 | 0,9 |
| 1984.7 | 9770 | 471 | 1,5 |

Таблица 8

| Эпоха | ν (МГц) | $S_{kp}(\nu)$ (Ян) | Случайная ошибка измерения $\pm \Delta S(\nu) \%$ |
|---------|-------------|--------------------|---|
| 1985.3 | 512,5 | 1110 | 1,7 |
| 1985.3 | 574,5 | 1050 | 0,6 |
| 1985.3 | 703 | 992 | 0,5 |
| 1985.3 | 991 | 996 | 0,7 |
| 1985.3 | 1500 | 836 | 1,0 |
| 1985.65 | 3900 | 674 | 0,7 |
| 1985.65 | 4880 | 601 | 0,9 |
| 1985.65 | 8108 | 478 | 0,9 |

Таблица 9

| Эпоха | ν (МГц) | $S_{kp}(\nu)$ (Ян) | Случайная ошибка измерения $\pm \Delta S(\nu) \%$ |
|---------|-------------|--------------------|---|
| 1986.7 | 560 | 1123 | 0,3 |
| 1986.7 | 614 | 1072 | 0,5 |
| 1986.65 | 763 | 997 | 0,8 |
| 1986.7 | 795 | 1004 | 0,5 |
| 1986.7 | 954 | 946 | 0,6 |
| 1986.7 | 2800 | 692 | 1,4 |
| 1986.7 | 3390 | 641 | 1,1 |
| 1986.7 | 4880 | 583 | 0,8 |
| 1986.65 | 8108 | 509 | 0,9 |
| 1986.65 | 15000 | 411 | 1,0 |

$$\alpha = 0,3275 \pm 0,0074, \quad B = 3,9607 \pm 0,0246 \quad (8)$$

В сравнении со спектрами (5-7) потоки в 1980-1981 гг. уменьшились в среднем на 2,8% почти независимо от частоты, светимость в диапазоне 0,5 - 1С ГГц упала на ту же величину $\Delta L / L = 2,7\%$. Отметим, что спектральный индекс до 1981 г. существенно не менялся.

По данным наблюдений покрытий Крабовидной туманности Луной в декабре 1982 г. и в январе 1983 г. спектр туманности в диапазоне 0,75 - 1,65 ГГц на эпоху 1983.0 описывался параметрами .

$$\alpha = 0,333, \quad B = 3,9656 \quad (9)$$

В дальнейшем в спектре Крабовидной туманности произошли более значительные изменения. В 1983-1984 гг. на Кара-Даге были измерены её потоки на 8-и частотах диапазона 0,5-10 ГГц также с калибровкой по методу "искусственной Луны"; результаты представлены в табл. 7. Спектр имел следующие параметры:

$$\alpha = 0,2857 \pm 0,0049, \quad B = 3,8107 \pm 0,0164 \quad (10)$$

Сравнение спектров (5-8) и (10) показывает, что к 1984 г. произошло сильное уменьшение спектрального индекса на величину $\Delta \alpha = -0,044$ или на 14% от первоначальной величины (5). В диапазоне частот, где производились измерения, светимость оказалась на 3% меньше, чем для спектра (5). Она почти не изменилась после 1981 г., несмотря на возрастание скорости падения потоков на волнах дециметрового диапазона. Компенсация вызвана перераспределением энергии по спектру за счет возрастания потоков на сантиметровых волнах.

Абсолютные измерения, проведенные на измерительном комплексе

Кара-Даг в 1965 и 1986 гг., показывают, что спектр Крабовидной туманности может существенно меняться за время порядка 1 года.

Спектр 1985 г. (табл.8) содержит измерения в диапазоне 512-8108 МГц. Плотности потоков в диапазоне 512-4880 МГц распределены по степенному закону с параметрами

$$\alpha = 0,2594 \pm 0,008, \quad \beta = 3,7395 \pm 0,0249 \quad (II)$$

Поток Крабовидной туманности, измеренный на частоте 8108 МГц, оказался на 11% ниже степенного закона (II). Необходимо отметить, что измеренные одновременно на той же установке потоки Лебедя А и Кассиопеи А находятся в хорошем соответствии со стандартными спектрами этих источников. Следовательно, в 1985 г. спектр Крабовидной туманности имел различные зависимости потока от частоты на частотах ниже и выше $\nu = 4880$ МГц.

Спектр Крабовидной туманности на эпоху 1986.7 (табл. 9) представлен данными в диапазоне частот 0,55-15 ГГц, и не содержит неоднородностей. Параметры этого спектра

$$\alpha = 0,2977 \pm 0,003, \quad \beta = 3,8624 \pm 0,0101 \quad (12)$$

Спектральный индекс по сравнению с 1985 г. вырос за год на величину 0,038 или на 12%. Светимость источника в диапазоне 0,5-10 ГГц несколько возросла и лишь на 0,9% меньше, чем для спектра (5).

Для иллюстрации временных изменений потоков на рис. I-3 приведены графики зависимости S/S_{ct} от времени на частотах 550, 960 и 9770 МГц, где S_{ct} - значения спектра (5). Точки на графиках соответствуют как непосредственно измеренным на этих или близких частотах плотностям потока, так и значениям спектров (6-12) для соответствующих частот и эпох. Заштрихованная полоса показывает ошибку определения потока по спектру (5).

В дециметровом диапазоне на частотах 550 и 960 МГц (рис.1 и 2) относительные изменения потока подобны по времени, но с уменьшением частоты растут: При всех изменениях поток на обеих частотах не

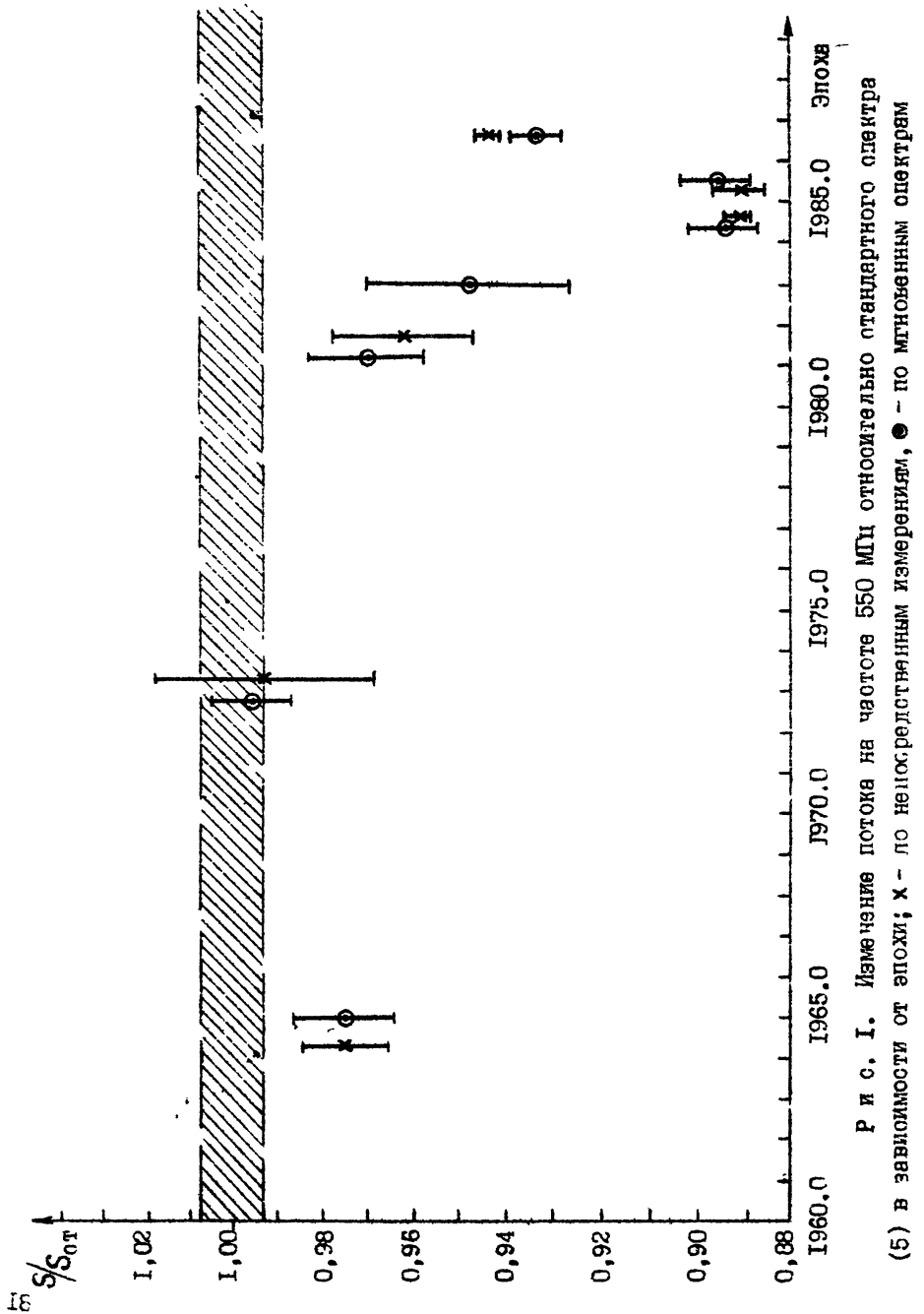


Рис. I. Изменение потока на частоте 550 МГц относительно стандартного спектра (5) в зависимости от эпохи; х - по непосредственным измерениям, ● - по мгновеннымспектрам

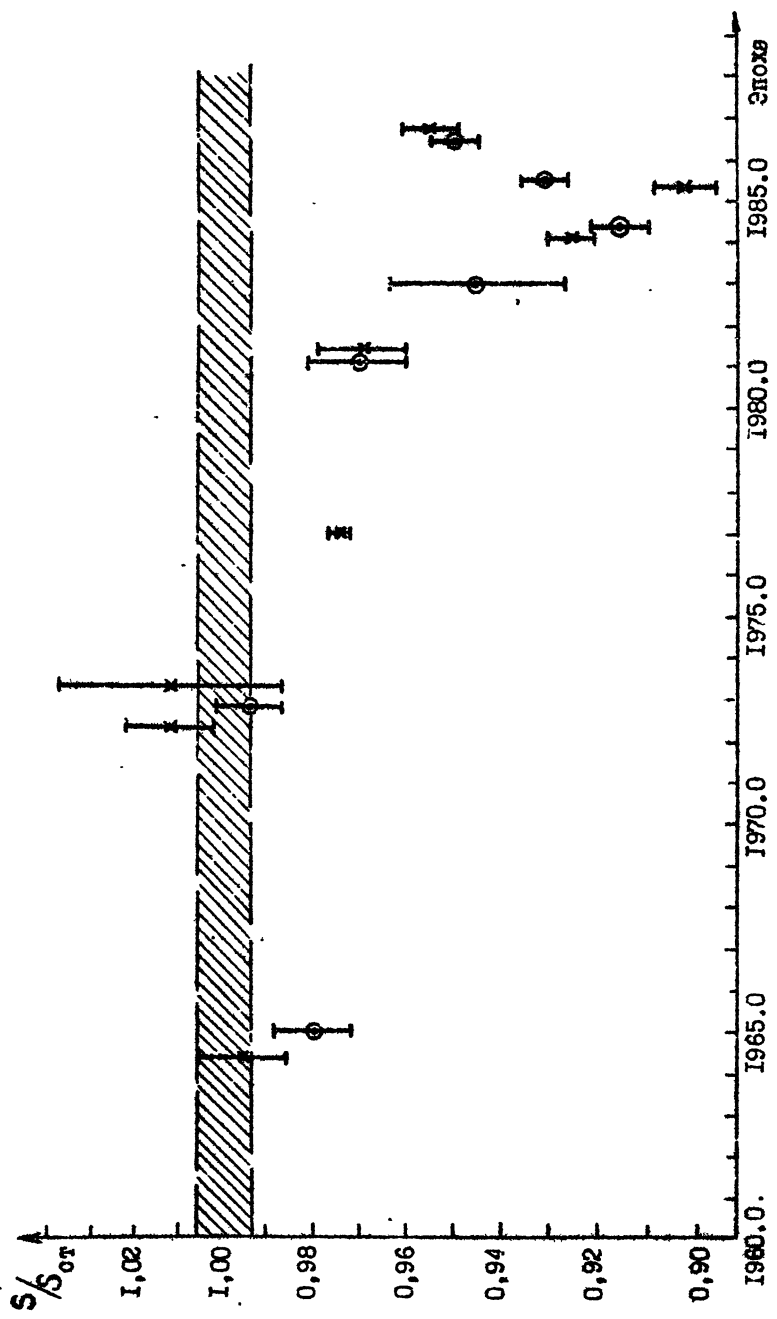


Рис. 2. Изменение потока на частоте 550 МГц относительно стандартного спектра (5) в зависимости от эпохи; обозначения те же, что на рис. 1.

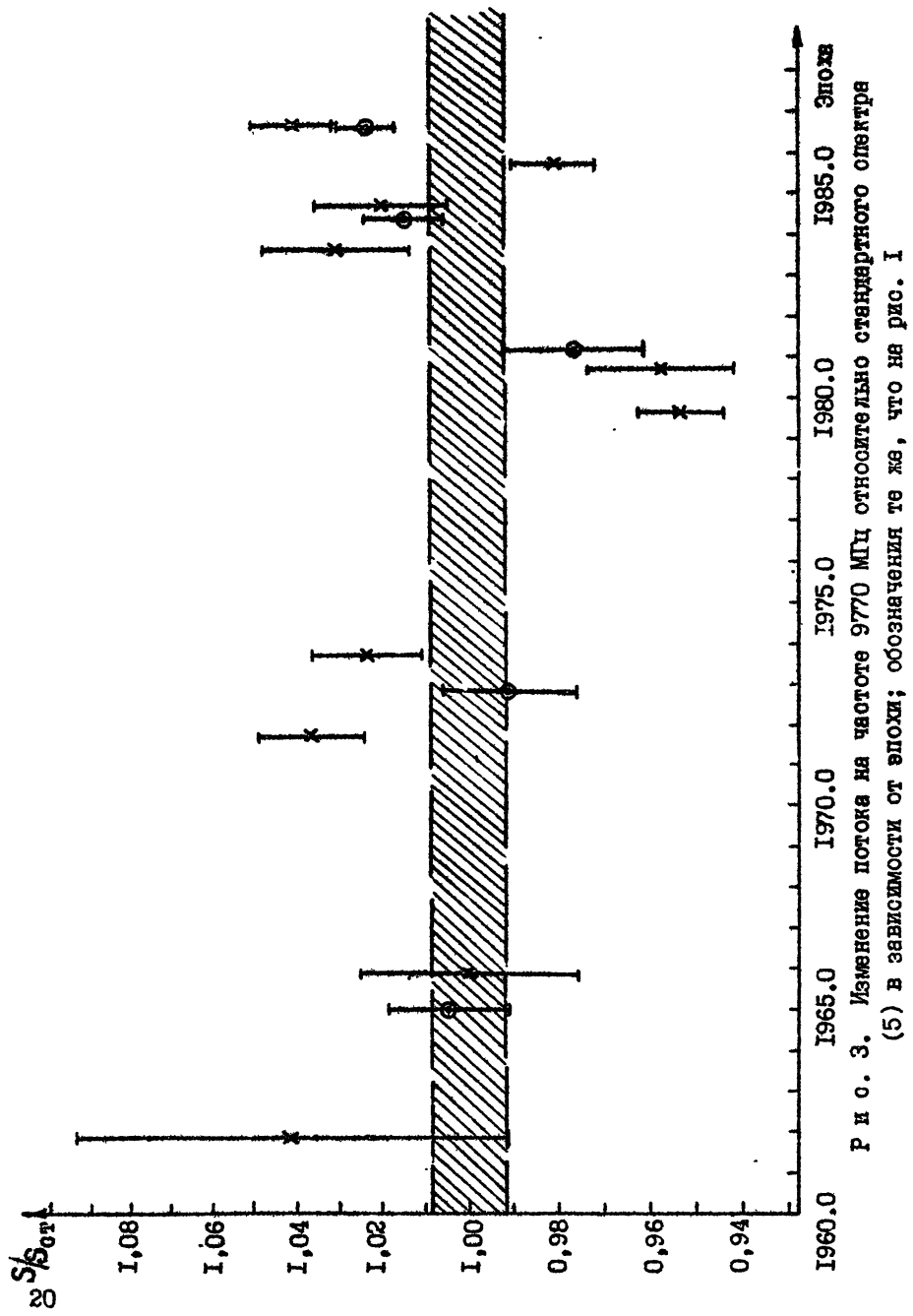


Рис. 3. Изменение потока на частоте 970 МГц относительно стационарного спектра (5) в зависимости от времени; обозначения те же, что на рис. 1.

превышал за период наблюдений начального уровня (5). Минимальные значения потока наблюдались в 1983–1985 гг. и достигли 89 и 92% на частотах 550 и 960 МГц, после чего в 1986 г. поток вновь заметно вырос.

В сантиметровом диапазоне (рис. 3) видны отклонения от начального уровня (5) как в меньшую так и в большую стороны, но те и другие радко превышают 5%. В большинстве случаев непосредственно измеренные плотности потоков в пределах ошибок совпадают с соответствующими значениями спектров (б-12).

Сравнение экспериментальных результатов в диапазоне дециметровых–сантиметровых волн позволяет отметить характерную особенность переменичивости радиоизлучения Крабовидной туманности в период 1976 – 86 гг.: наличие быстрых и значительных изменений спектра, не сопровождающихся большими изменениями интегральной светимости источника.

В целом из результатов проведенных экспериметров следует, что наблюдаемый процесс изменения интенсивности и спектра Крабовидной туманности начался после 1974–75 гг. и развивался нерегулярно во времени. Поэтому он не может являться следствием адиабатических потерь при расширении туманности.

В последние годы ряд работ был выполнен по исследованию радиоизлучения за пределами туманности с целью поиска гало, содержащего рассеянную массу ($\sim 10 M_{\odot}$), выброшенную при взрыве сверхновой. В 1975–76 гг. поиск слабого гало сделан на частоте 610 МГц в области с радиусом $1,5^{\circ}$ от центра, совпадающего с пульсаром, и не обнаружено никакого заметного радиоизлучения на уровне, большим 0,1% от радиояркости Краба в центре /36/. На волне 21 см в сентябре 1982 г. не обнаружено радиоизлучение выше 30 дБ от интенсивности Краба на расстоянии 8 – 32 от центра /35/.

С другой стороны, отсутствие плато в радиояркости показывает, что не было выхода релятивистских частиц за пределы туманности в современную эпоху. Поэтому падение потока и изменение спектра источника не могли произойти из-за ухода излучающих частиц наружу. Эволюция остатков сверхновых, содержащих пульсар, (или крабоподобных, или плерисов) исследовалась теоретически в ряде работ. В /16/ показано, что в современную эпоху радиоизлучение туманности должно убывать равномерно по частоте на 0,25% в год. Если изменения спектрального индекса в радиодиапазоне возможны, то только на ранних стадиях эволюции, при возрасте порядка 100 лет, т.е.

существенно меньшем, чем у Краба /20/.

В связи с этим представляет интерес следующий факт. В работах /42,34/ сообщалось, что поток точечного источника в Крабе на частоте $\nu = 74$ МГц за время с 1971 по 1975 гг. уменьшился на 45% и затем стабилизировался на нижнем уровне.

Можно предположить, что в Крабовидной туманности действует механизм непрерывного обмена релятивистскими частицами между туманностью и областью их генерации - пульсаром. Поведение спектра туманности в этом случае отражает баланс между потерями энергии релятивистскими частицами во время взаимодействия их с активными областями вокруг пульсара и инъекцией.

В /41/ опубликованы результаты измерений плотностей потоков Крабовидной туманности на эпоху 1981 г. в далеком ИК диапазоне и сделан обзор данных в оптике и ультрафиолете. В целом спектр синхротронного излучения Краба на эпоху 1981 г. (кроме декаметрового диапазона) хорошо аппроксимируется двумя спектральными индексами $\alpha_r = 0,330$ и $\alpha_0 = 0,8$ с точкой перелома на частоте $\nu_b = 1 \cdot 10^{13}$ Гц. Изменение спектра Краба обнаружено нами при сравнении непосредственных экспериментальных данных в диапазоне 0,5 - 10 ГГц. Вероятно, что эволюция спектра в других участках может быть иной.

Дата поступления статьи
16 марта 1987 г.

Литература

1. Whilfield G.R. - Mon.Not.R.Astr.Soc., 1957, v.117, N 6, p.680-691.
2. Conway G.R., Kellermann K.I., Long R.J. - Mon.Not.R .Astr. Soc., 1963, v.125, N 3-4, p.261-284.
3. Kellermann K.I., Pauliny-Toth I.I.K. and Williams P.J.S. - Astrophys.J., 1969, v.157, N 1, p.1-34.
4. Baars J.W.M., Mezger P.G. and Wendker H. - Astrophys.J., 1965, v.142, N 1, p.122-134.
5. Baars J.W.M. and Hartsuijker A.P. - Astron.Astrophys., 1972, v.17, N 2, p.172-181.
6. Baars J.W.M., Genzel R., Pauliny-Toth I.I.K. and Witzel A. - Astron.Astrophys., 1977, v.61, N 1, p.99-106.
7. Apparao K.M.V. - Astrophys.and Space Sci., 1973, v.25, N 1, p. 3-116.
8. Иванов В.П.-Тезисы докладов XIV Всесоюзной радиоастрономической конференции по аппаратуре, антеннам и методам. Ереван, 1982, с.392-393.
9. Иванов В.П.-Тезисы докладов XIV Всесоюзной радиоастрономической конференции по аппаратуре, антеннам и методам. Ереван, 1982, с.392-397.
10. Иванов В.П., Станкевич К.С. а) Препринт №183 НИРФИ, Горький, 1984. б) Известия ВУЗов - Радиофизика, 1986, т.29, №1, с.3-27.
11. Scott P.F., Shakeshaft J.R. - Mon.Not.R.Astr.Soc., 1971; v.154, N 4, p.19p-23p.
12. Kraus J.D., Ko H.C. and Matt S. - Astron.J., 1954, v.59, N 11, p.439-443.
13. Seeger C.L., Westerhout G., van de Hulst H.C. - Bull. Astron.Inst.Netherl., 1956, v.13, N 472, p.89-99.

14. Heeschen D.S. - *Astrophys.J.*, 1961, v.133, N1, p.322-334.
15. Conway R.G., Daintree E.L., Long R.J. - *Mon.Not.R.Astron. Soc.*, 1965, v.131, N 2, p.159-171.
16. Reynolds S.P., Chevalier R.A. - *Astrophys.J.*, 1984, v.278, N 2, pt.1, p.630.
17. Станкевич К.С., Иванов В.П., Торхов В.А. - Астрон.журн., 1973, т.50, №3, с.645-646.
18. Westerhout G. - *Bull.Astron.Inst.Netherl.*, 1958, v.14, N 488, p.215-263.
19. Mezger P.G. - *Z.Astrophys.*, 1958, v.46, N4, p.234-244.
20. Bandiera R., Pacini F., Salvati M. - *Astrophys.J.*, 1984, v.285, N1, pt.1, p.134-140.
21. Slcanaker R.M. and Nichols J.H. - *Astron.J.*, 1960, v.65, N 3, p.109-116.
22. Heeschen D.S. and Meredith B.I. - *Publications of the NRAO*, 1961, v.1, N 8, p.121-128.
23. Medd W.J. - *Astrophys.J.*, 1972, v.171, N 1, p.41-50.
24. Wilson R.W., Penzias A.A. - *Astrophys.J.*, 1966, v.146, N 1, p.286-287.
25. Haroules G.G., Brown W.E. - *Astrophys.J.*, 1967, v.149, N 3, p.711-713.
26. Dent W.A., Haddock F.T. - *Astrophys.J.*, 1966, v.144, N 2, p.568-586.
27. Mezger P.G., Schraml J. - *Astron.J.*, 1966, v.71, N9, p.864.
28. Janssen M.A., Golden D.M., and Welch W.J.-*Astron.Astrophys.*, 1974, v.33, N 3, p.373-377.
29. Wills Beverly J.-*Astrophys.J.*, 1973, v.180, N2, p.335-350.
30. Виняйкин В.Н., Разин В.А., - Астрон.ж., 1979, т.56, №5, с.913-917
31. Иванов В.П., Барабанов А.П., Станкевич К.С., Столяров С.П., - Астрон.ж., 1982, т.59, с.963.

32. Иванов В.П., Бубукин И.Т., Станкевич К.С. - Письма в А.Ж., 1982, т.8, №2, с.83.
33. Станкевич К.С., Иванов В.П., Пелюшенко С.А., Торхов В.А., Иванникова А.Н. - Известия ВУЗов - Радиофизика, 1973, т.16, №5, с.786-798.
34. Rickett B.J., Seiradakis J.H. - Astrophys.J., 1982, v. 256, N 2, p. 612.
35. Матвеенко Л.И. - Письма в А.Ж., 1984, т.10, №2, с.III.
36. Wilson A.S., Weiler K.W. - Nature, 1982, v.300, p. 155.
37. Барабанов А.П., Иванов В.П., Станкевич К.С., Столяров С.П. - Препринт №207, НИРФИ, Горький, 1986.
38. Барабанов А.П.; Иванов В.П., Станкевич К.С. Столяров С.П. - Астрон.ж., 1986, т.63, №5, с.926-938.
39. Иванов В.П., Станкевич К.С. - Препринт №218, НИРФИ, Горький, 1986.
40. Allen R.J., Barrett A.H. - Astrophys.J., 1967, v. 149, N 1, pt. 1, p. 1 - 13.
41. Marsden P.L., Gillett F.C., Lemmings R.E., Emerson J.R., de Long P., Olson P.M. - Astrophys.J., 1984, v.278, p. L29.
42. Armstrong J.W., Coles W.A. - Astrophys.J., 1978, v. 220, N 1, p. 346.

Алексей Петрович Барабаков
Валерий Павлович Иванов
Казиалир Станиславович Станкеевич
Станислав Павлович Столыров

ЭКСПЕРИМЕНТАЛЬНЫЕ ИССЛЕДОВАНИЯ РАДИОИЗЛУЧЕНИЯ
КРАБОВИДНОЙ ТУМАННОСТИ

Подписано в печать 10.07.87 г. МЦ 00329. Формат 60x84/16
Бумага писчая. Печать офсетная. Объем 1,55 и. л. Заказ 4578
Тираж 120. Бесплатно
